

# Compte-rendu en *Méthodes numériques de base* Résultats sur l'identification de conductivité

Aurélien PEPIN, Antonin KLOPP-TOSSER

2 mai 2017

## 1 Méthode des différences finies

**QUESTION 1.** L'écriture sous forme matricielle du  $\theta$ -schéma (10) exprime l'itération  $k + 1$  du vecteur  $U$  en fonction de l'itération  $k$ . On isole donc, dans le  $\theta$ -schéma, les termes en  $u_i^{(k+1)}$ .

$$\begin{aligned} & u_i^{(k+1)} - \mu\theta \left( C_{i+1/2} u_{i+1}^{(k+1)} - (C_{i+1/2} + C_{i-1/2}) u_i^{(k+1)} + C_{i-1/2} u_{i-1}^{(k+1)} \right) \\ &= \mu(1 - \theta) \left( C_{i+1/2} u_{i+1}^k - (C_{i+1/2} + C_{i-1/2}) u_i^k + C_{i-1/2} u_{i-1}^k \right) + u_i^k \\ \\ &\iff (1 + \theta\mu(C_{i+1/2} + C_{i-1/2})) u_i^{(k+1)} - \theta\mu(C_{i+1/2} u_{i+1}^{(k+1)} - C_{i-1/2} u_{i-1}^{(k+1)}) \\ &= (1 + (\theta - 1)\mu(C_{i+1/2} + C_{i-1/2})) u_i^k - (\theta - 1)\mu C_{i+1/2} u_{i+1}^k - (\theta - 1)\mu C_{i-1/2} u_{i-1}^k \end{aligned}$$

Sachant que  $U^{(k)}$  est la matrice-colonne des  $u_i^{(k)} \forall i \in \llbracket 1; n \rrbracket$ , on identifie les termes un à un dans le membre de gauche puis dans le membre de droite :

$$\left( I + \theta\mu \begin{bmatrix} C_{1+1/2} + C_{1-1/2} & -C_{1+1/2} & & & 0 \\ & -C_{2-1/2} & \ddots & \ddots & \\ & & \ddots & \ddots & -C_{(n-1)+1/2} \\ 0 & & & -C_{n-1/2} & C_{n+1/2} + C_{n-1/2} \end{bmatrix} \right) \begin{bmatrix} u_1^{(k+1)} \\ u_2^{(k+1)} \\ \vdots \\ u_n^{(k+1)} \end{bmatrix} = \begin{bmatrix} u_1^k \\ u_2^k \\ \vdots \\ u_n^k \end{bmatrix} + \mu \begin{bmatrix} B_1^{(k)} \\ 0 \\ \vdots \\ 0 \end{bmatrix}$$

$A$   $U^{(k+1)}$   $B^{(k)}$

$$\left( I + (\theta - 1)\mu \begin{bmatrix} C_{1+1/2} + C_{1-1/2} & -C_{1+1/2} & & & 0 \\ & -C_{2-1/2} & \ddots & \ddots & \\ & & \ddots & \ddots & -C_{(n-1)+1/2} \\ 0 & & & -C_{n-1/2} & C_{n+1/2} + C_{n-1/2} \end{bmatrix} \right) \begin{bmatrix} u_1^{(k)} \\ u_2^{(k)} \\ \vdots \\ u_n^{(k)} \end{bmatrix} = \begin{bmatrix} u_1^{(k)} \\ u_2^{(k)} \\ \vdots \\ u_n^{(k)} \end{bmatrix} + \mu \begin{bmatrix} B_1^{(k)} \\ 0 \\ \vdots \\ 0 \end{bmatrix}$$

$A$   $U^{(k)}$   $B^{(k)}$

$B_1^{(k)}$  exprime les conditions aux limites. Pour  $i = 1$ , le terme  $(A)_{i,i-1} = (A)_{1,0}$  n'est pas défini et vaut 0 par convention. Pour conserver l'égalité, on ajoute dans  $B$  un coefficient simulé :

$$B_1^{(k)} = C_{1/2} (\theta u_0(t_k) + (1 - \theta) u_0(t_k + 1))$$

**QUESTION 2.** Une matrice  $M$  est dite définie positive si, pour toute matrice-colonne non nulle  $x$  à coefficients réels,  ${}^t x M x > 0$ . Soit  $x = (x_1, x_2, \dots, x_n)$  non nul :

$${}^t x A x = \sum_{i=1}^n (C_{i+1/2} + C_{i-1/2}) x_i^2 - 2 \sum_{i=1}^{n-1} C_{i+1/2} x_i x_{i+1}$$


On pose  $j = i - 1$  en développant le premier terme :

$$\begin{aligned} {}^t x A x &= \sum_{i=1}^n C_{i+1/2} x_i^2 + \sum_{j=0}^{n-1} C_{j+1/2} x_{j+1}^2 - 2 \sum_{i=1}^{n-1} C_{i+1/2} x_i x_{i+1} \\ &= \sum_{i=1}^{n-1} C_{i+1/2} (x_i - x_{i+1})^2 + C_{1/2} x_{1/2}^2 + C_{n+1/2} x_n^2 \end{aligned} \quad (1)$$

La fonction  $C(x)$  est strictement positive par définition donc  ${}^t x A x > 0 \forall x$  non nul.  
La matrice  $A$  est bien définie positive.

## 2 Factorisation de Cholesky dans le cas tridiagonal

**QUESTION 3.** Phase de factorisation de Cholesky.

 Se référer à : Q3\_Factorisation\_Cholesky.sce

La décomposition de Cholesky permet ensuite de résoudre des systèmes linéaires en une phase de descente puis une phase de remontée.

**QUESTION 4.** Première phase de descente.

 Se référer à : Q4\_Descente\_Cholesky.sce

**QUESTION 5.** Seconde phase de remontée.

 Se référer à : Q5\_Remontee\_Cholesky.sce

On peut appliquer dans l'ordre ces trois fonctions pour résoudre l'exemple ci-dessous, noté  $MX = B$ . Le TD 5 a montré que la matrice  $M$  était aussi symétrique définie positive donc elle admet une unique factorisation de Cholesky.

$$\begin{pmatrix} 1 & -1 & 0 & 0 & 0 \\ -1 & 2 & -1 & 0 & 0 \\ 0 & -1 & 2 & -1 & 0 \\ 0 & 0 & -1 & 2 & -1 \\ 0 & 0 & 0 & -1 & 2 \end{pmatrix} \begin{pmatrix} x_1 \\ x_2 \\ x_3 \\ x_4 \\ x_5 \end{pmatrix} = \begin{pmatrix} 10 \\ 20 \\ 30 \\ 40 \\ 50 \end{pmatrix} \text{ où la solution est } X = \begin{pmatrix} 350 \\ 340 \\ 310 \\ 250 \\ 210 \end{pmatrix}$$

 Pour calculer et vérifier cet exemple, cf. Q5\_Exemple\_Cholesky.sce

### 3 Problème stationnaire

**QUESTION 6.** L'équation (9) de l'énoncé fournit une approximation du système (13) :

$$\frac{\partial}{\partial x} [C(x) \frac{\partial u}{\partial x}] (x_i, t_k) \approx \frac{C_{i+1/2} u_{i+1}^{(k)} - (C_{i+1/2} + C_{i-1/2}) u_i^{(k)} + C_{i-1/2} u_{i-1}^{(k)}}{\delta_x^2}$$

En écrivant ce système sous forme matricielle pour tout  $\forall i \in \llbracket 1; n \rrbracket$ , on obtient :

$$\frac{\partial}{\partial x} [C(x) \frac{\partial u}{\partial x}] = \frac{1}{\delta_x^2} (-Au + B) = 0 \iff Au = B$$

où, par identification :

- $A$  est la matrice tridiagonale, symétrique et définie positive de la **question 1** ;
- $u$  est la matrice-colonne des  $u_i^{(k)}$  à l'itération  $k$  ;
- $B$  est la matrice-colonne des conditions aux limites déterminée de la façon suivante :

**Pour  $i = 1$ .**

$$\begin{aligned} (Au)_1 &= -C_{3/2} u_2^{(k)} + (C_{3/2} + C_{1/2}) u_1^{(k)} \\ \iff (B)_1 &= C_{1/2} u_0 \end{aligned}$$

**Pour  $i > 1$ .**


$$\begin{aligned} (Au)_i &= -C_{i+1/2} u_{i+1}^{(k)} + (C_{i+1/2} + C_{i-1/2}) u_i^{(k)} - C_{i-1/2} u_{i-1}^{(k)} \\ &= \frac{\delta_x^2}{\delta_x^2} (-C_{i+1/2} u_{i+1}^{(k)} + (C_{i+1/2} + C_{i-1/2}) u_i^{(k)} - C_{i-1/2} u_{i-1}^{(k)}) \\ &\simeq \delta_x^2 \cdot 0 \\ \iff (B)_i &= 0 \quad \forall i \in \llbracket 2; n \rrbracket \end{aligned}$$

La matrice-colonne  $B$  est celle de la **question 1** avec la fonction  $u_0$  constante.

Puisque  $A$  est définie positive, elle n'admet pas 0 comme valeur propre.

Elle est donc inversible et le système  $Au = B$  possède par conséquent une unique solution.

**QUESTION 7.** Solution exacte du problème stationnaire et convergence.

 Se référer à : `Q7_Probleme_stationnaire.sce`

$$\begin{aligned} \frac{\partial}{\partial x} [C(x) \frac{\partial u}{\partial x}] = 0 &\iff -\frac{1}{l} \exp(-\frac{x}{l}) \frac{\partial u}{\partial x} + \exp(-\frac{x}{l}) \frac{\partial^2 u}{\partial x^2} = 0 \\ &\iff \frac{\partial^2 u}{\partial x^2} - \frac{1}{l} \frac{\partial u}{\partial x} = 0 \end{aligned}$$

donc  $u(x)$  est de la forme :

$$u(x) = \alpha + \beta \exp(\frac{x}{l})$$

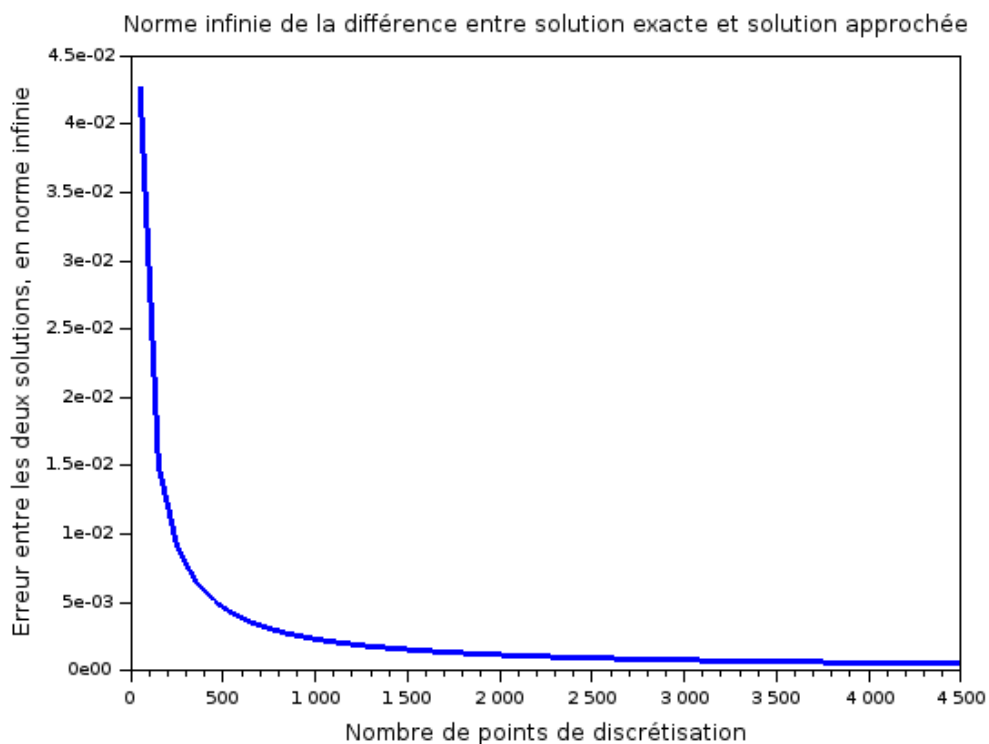
**Détermination des constantes  $\alpha$  et  $\beta$ .** À partir des conditions initiales, on résout :

$$\begin{cases} u(-l) = \alpha + \beta e^{-1} = u_0 = 1 \\ u(l) = \alpha + \beta e = 0 \end{cases} \iff \begin{cases} \beta = \frac{1}{e^{-1}-e} \\ \alpha = -\frac{e}{e^{-1}-e} \end{cases}$$

Finalement, la solution exacte de l'équation différentielle (13) est :

$$u(x) = -\frac{e}{e^{-1}-e} + \frac{1}{e^{-1}-e} \exp\left(\frac{x}{l}\right) = \frac{e(e - e^{\frac{x}{l}})}{e^2 - 1}$$

Il est possible de mesurer la précision de la méthode des différences finies en comparant cette solution exacte avec la solution approchée pour différents pas  $\delta_x \rightarrow 0$ .



Plus le nombre de points de discrétisation  $x_i$  augmente, plus le pas  $\delta_x$  tend vers 0. La solution numérique converge vers la solution exacte quand  $\delta_x \rightarrow 0$ .

## 4 Évolution d'une donnée initiale

**QUESTION 8.** On cherche à montrer que  $\rho(M^{-1}N)$  est strictement inférieur à 1. On applique pour cela à  $M^{-1}$  et à  $N$  le résultat suivant, démontré plus bas.

**Proposition.** Soit  $P$  un polynôme d'endomorphisme (ou de matrice), soit  $S$  une matrice. Si  $v$  est vecteur propre de  $S$  pour la valeur propre  $\lambda$ , alors il est vecteur propre de  $P(S)$  pour la valeur  $P(\lambda)$ .

Soient  $P$  et  $Q$  deux polynômes de matrice. Dire en effet que  $v$  est vecteur propre de  $S$  associé à la valeur propre  $\lambda$  revient à écrire :

$$\begin{aligned}
Sv = \lambda v &\iff S^p v = S^{p-1} \cdot Sv = S^{p-1} \cdot \lambda v = \lambda^p v \quad \forall p \in \mathbb{N} \\
&\iff P(S)v = \sum_{k=0}^p a_k S^k(v) = \sum_{k=0}^p a_k \lambda^k v = P(\lambda)v \\
&\iff P^{-1}(S)v = \frac{1}{P(\lambda)}v \\
&\iff P^{-1}(S) Q(S)v = \frac{Q(\lambda)}{P(\lambda)}v
\end{aligned}$$

Soit  $x_A$  un vecteur propre de  $A$  et  $\lambda_A$  sa valeur propre associée.

$M^{-1}$  et  $N$  peuvent être exprimés comme des polynômes de matrice :

$$\begin{aligned}
M^{-1} = \theta\mu A + I &\iff M^{-1}(A) = \theta\mu A^1 + A^0 \\
N = (\theta - 1)\mu A + I &\iff N(A) = (\theta - 1)\mu A^1 + A^0
\end{aligned}$$

On en déduit donc la forme des valeurs propres de  $M$  et de  $N$  en fonction de celles de  $A$  :

$$\lambda_M = 1 + \theta\mu\lambda_A \quad \text{et} \quad \lambda_N = 1 + (\theta - 1)\mu\lambda_A$$

Les valeurs propres de  $M^{-1}N$  sont donc de la forme :

$$\frac{\lambda_N}{\lambda_M} = \frac{1 + (\theta - 1)\mu\lambda_A}{1 + \theta\mu\lambda_A} = \frac{1 + \theta\mu\lambda_A - \mu\lambda_A}{1 + \theta\mu\lambda_A}$$

Or,  $\mu > 0$  et  $A$  est définie positive donc  $\lambda_A > 0$ , d'où  $\mu\lambda_A > 0$ .

Le quotient est donc strictement inférieur à 1.

De plus,  $\theta \in [0; 1]$  donc le quotient est toujours strictement supérieur à 1.

Toutes les valeurs propres de  $M^{-1}N$  sont comprises dans l'intervalle  $] -1; 1[$  donc :

$$\rho(M^{-1}N) = \max_i |\lambda_i| < 1$$


**QUESTION 9.** D'après le chapitre 3 du cours, la méthode de Crank-Nicolson converge si et seulement si  $\rho(M^{-1}N) < 1$ . La **question 8** a montré que c'était le cas.

Soit  $X$  la limite des  $U^{(k)}$ . Pour  $k \rightarrow +\infty$ , on a :

$$\begin{aligned}
MX = NX + \mu B &\iff (M - N)X = \mu B \\
&\iff (I + \theta\mu A - I - (\theta - 1)\mu A)X = \mu B \\
&\iff \mu AX = \mu B \\
&\iff AX = B
\end{aligned}$$

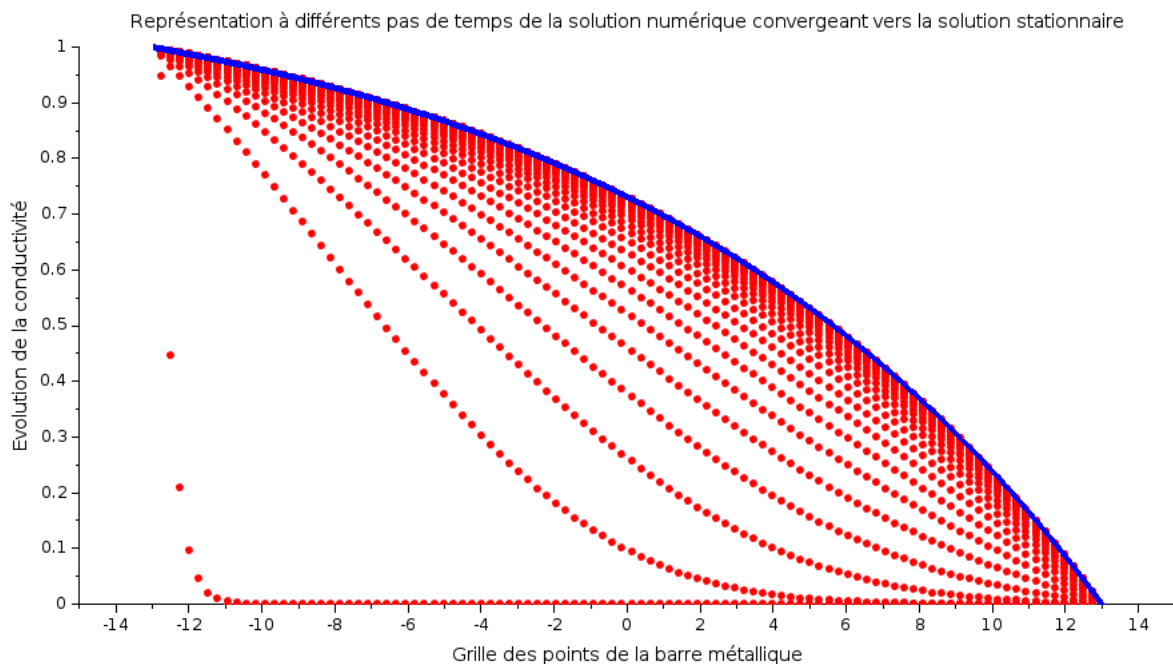
$A$  et  $B$  sont les matrices de la **question 6** donc la solution discrétisée converge bien vers la solution stationnaire.

**QUESTION 10.** Dans le graphique ci-dessous, on trace en bleu la solution stationnaire trouvée dans la **question 6**. Puis on trace en rouge la solution approchée à différents pas  $t_k$ .

 Se référer à : Q10\_CrankNicolson.sce

On choisit les paramètres suivants :


- $n = 100$ , nombre de points de discrétisation de la grille ;
- $n_t = 6000$ , nombre d'itérations assez grand pour approcher de près la solution exacte ;
- $T = 500$ , ce qui donne un pas de temps  $\delta_t \simeq 0.083$ .



Quand  $k \rightarrow +\infty$ ,  $U^{(k)}$  tend effectivement vers la solution stationnaire. La convergence de la méthode de Crank-Nicolson est rapide : sur le graphique, la deuxième mesure, déjà éloignée de  $U^{(0)}$ , a été relevée à  $k = 200$ . Chaque courbe rouge correspond à 200 itérations supplémentaires.

## 5 Étude du problème inverse


**QUESTION 11.** Mesure du flux à  $t_{inter} = \frac{2}{3}T$  et  $t_{fin} = T$ .

 Se référer à : Q11\_Flux.sce

La fonction `flux(x_d)` est gourmande en temps. Sa complexité temporelle est en  $O(n_t \cdot n)$  mais elle cache trois étapes en  $O(n)$  : le calcul du second membre, la descente et la remontée.

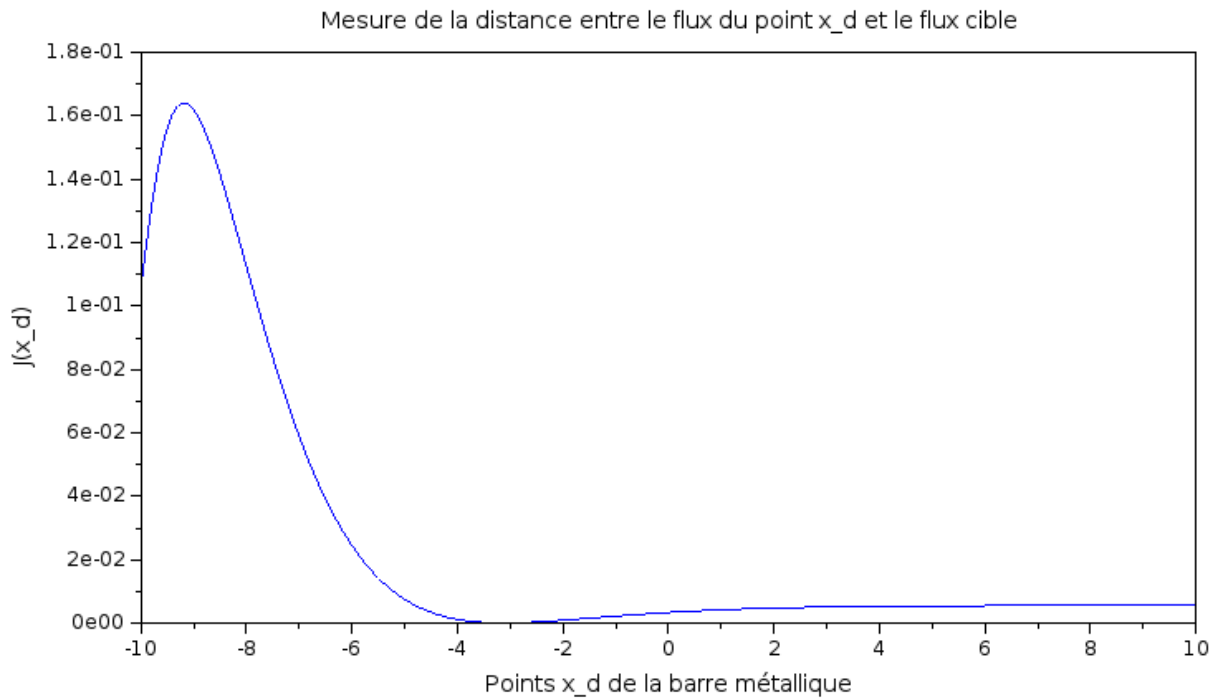
On en optimise pour cela quelques parties comme le calcul du vecteur  $B^{(k)}$  ramené au calcul de sa seule composante non nulle  $B_1^{(k)}$ . On économise ainsi de l'espace mémoire et  $n$  itérations pour l'affectation.

**QUESTION 12.** Recherche de  $x_d^*$  avec la fonction  $J$ .

 Se référer à : Q12\_Fonction\_J.sce


La fonction  $J(x_d)$  mesure l'écart (en norme euclidienne) entre le flux  $\mathcal{F}$  mesuré à différents points  $x_d$  et le flux cible  $\mathcal{F}_{cible} = (-0.1, -0.18)$ .

Le graphique ci-dessous représente la fonction  $J$  sur la barre métallique  $] -10 ; 10[$  à raison de 200 points  $x_d$  d'échantillonnage.



La fonction  $J$  admet un unique minimum. C'est le flux égal au flux cible pour  $x_d \simeq -3.5$ . On implémente désormais deux méthodes pour trouver par le calcul cette valeur  $x_d^*$  : la méthode de la dichotomie et la méthode de Gauss-Newton.

**QUESTION 13.** Méthode de la dichotomie.

 Se référer à : Q13\_J\_Dichotomie.sce

$J(x_d)$  est une mesure de la distance entre le flux en  $x_d$  et le flux cible. On en déduit :

**Données :**  $J(x_1), J(x_2), J(x_3)$

**Sorties :**  $I$ , intervalle décidé

**si**  $J(x_1) = \min(J(x_1), J(x_2), J(x_3))$  **alors**

$I = [a; x_2]$

**sinon si**  $J(x_2) = \min(J(x_1), J(x_2), J(x_3))$  **alors**

$I = [x_1; x_3]$

**sinon**

$I = [x_2; b]$

**fin**

**QUESTION 14.** Méthode de Gauss-Newton.

## Annexes

## 6 RESTE

Soit  $x = (x_1, x_2, \dots, x_n)$

$$\begin{aligned} x^T A x &= \sum_{i=1}^n (C_{i+1/2} + C_{i-1/2}) x_i^2 - 2 \sum_{i=1}^{n-1} C_{i+1/2} x_i x_{i+1} \\ &= \sum_{i=1}^n C_{i+1/2} x_i^2 + \sum_{j=0}^{n-1} C_{j+1/2} x_{j+1}^2 - 2 \sum_{i=1}^{n-1} C_{i+1/2} x_i x_{i+1} \quad \text{On pose } j = i-1 \\ &= \sum_{i=1}^{n-1} C_{i+1/2} (x_i - x_{i+1})^2 + C_{1/2} x_{1/2}^2 + C_{n+1/2} x_n^2 > 0 \end{aligned}$$

Comme  $x^T A x > 0 \forall x \in \mathbb{R}^n$  alors la matrice A est symétrique définie positive.

D'après (9) :  $\frac{\partial}{\partial x} [C(x) \frac{\partial u}{\partial x}] (x_i, t_k) = \frac{C_{i+1/2} u_{i+1}^{(k)} - (C_{i+1/2} + C_{i-1/2}) u_i^{(k)} + C_{i-1/2} u_{i-1}^{(k)}}{\delta^2}$  Pour résoudre (13), on résout 9 pour chaque coefficient  $u_i^k$

$$\begin{pmatrix} u_0 C_{1/2} \\ 0 \\ 0 \\ 0 \end{pmatrix}$$

Question 6.

D'après l'équation (9),

$$\frac{\partial}{\partial x} [C(x) \frac{\partial u}{\partial x}] (x_i, t_k) \approx \frac{C_{i+1/2} u_{i+1}^{(k)} - (C_{i+1/2} + C_{i-1/2}) u_i^{(k)} + C_{i-1/2} u_{i-1}^{(k)}}{\delta_x^2}$$

Si on écrit ce système,  $\forall i$  sous forme matricielle, on obtient :

$$\frac{\partial}{\partial x} [C(x) \frac{\partial u}{\partial x}] = \frac{1}{\delta^2} (-A u + \begin{pmatrix} u_0 C_{1/2} \\ 0 \\ 0 \\ 0 \end{pmatrix}) \quad \text{car } u(-l) = u_0 \text{ avec } u = (u_1^{(k)}, \dots, u_n^{(k)}) \text{ et } A \text{ la matrice}$$



trouvée à la question 1.

Donc  $Au = B$ , avec  $B = (b_0, \dots, b_n)$  où,  $b_0 = C_{1/2}u_0$  et  $b_i = 0 \forall i \in [2, n]$

Ce système admet une solution unique car  $A$  est définie et donc inversible.

Question 7.

On résout l'équation :

$$\begin{cases} \frac{\partial}{\partial x}[C(x)\frac{\partial u}{\partial x}] = 0 \\ u(-l) = u_0 \\ u(l) = 0 \end{cases}$$

$$\frac{\partial}{\partial x}[C(x)\frac{\partial u}{\partial x}] = 0 \quad -\frac{1}{l}e^{-\frac{x}{l}}\frac{\partial u}{\partial x} + e^{-\frac{x}{l}}\frac{\partial^2 u}{\partial x^2} = 0 \quad \frac{\partial^2 u}{\partial x^2} - \frac{1}{l}\frac{\partial u}{\partial x} = 0$$

$$u(x) = \alpha + \beta e^{\frac{x}{l}}$$

Calcul des constantes :

$$\begin{cases} u(-l) = \alpha + \beta e^{-1} = u_0 = 1 \\ u(l) = \alpha + \beta e = 0 \end{cases}$$

$$\begin{cases} \beta = \frac{1}{e^{-1}-e} \\ \alpha = -\frac{e}{e^{-1}-e} \end{cases}$$

$$\text{Donc : } u(x) = -\frac{e}{e^{-1}-e} + \frac{1}{e^{-1}-e}e^{\frac{x}{l}}$$

Question 8.

$$M = I + \theta\mu A \text{ et } N = I + (\theta - 1)\mu A$$

$M$  et  $N$  sont donc des polynômes de matrices.

Donc, soit  $x_A$  un vecteur propre de  $A$  et  $\lambda_A$  une valeur propre de  $A$ , alors  $x_A$  est aussi un vecteur propre de  $M$  avec comme valeur propre  $M\lambda_A$

Les valeurs propres de  $M$  sont  $\lambda_M = 1 + \theta\mu\lambda_A$ .

Les valeurs propres de  $N$  sont  $\lambda_N = 1 + (\theta - 1)\mu\lambda_A$

Les valeurs propres de  $M^{-1}N$  sont  $\frac{\lambda_N}{\lambda_M} = \frac{1+(\theta-1)\mu\lambda_A}{1+\theta\mu\lambda_A} \forall \lambda_A$ .  $1 + (\theta - 1)\mu\lambda_A < 1 + \theta\mu\lambda_A$

Donc  $\rho(M^{-1}N) = \max(\frac{\lambda_N}{\lambda_M}) < 1$

Question 9.

$MU^{(k+1)} = NU^{(k)} + \mu B$  Cette méthode de décomposition converge uniquement si  $\rho(M^{-1}N) < 1$ , ce qui est le cas ici (question 8).

Cette décomposition converge vers  $Ax = b$ , avec  $A = M - N$ .

$$M - N = I + \theta\mu A - I - (\theta - 1)\mu A = \mu A$$

$\mu Ax = \mu B \quad Ax = B$  On retrouve ici les matrices  $A$  et  $B$  de la question (6).